

Уравнение состояния ${}^4\text{He}$, включающее регулярную и скейлинговскую части

П.П. Безверхий^{1,2}, В.Г. Мартынец¹, Э.В. Матизен¹

¹Институт неорганической химии им. А.В. Николаева СО РАН
пр. акад. Лаврентьева, 3, г. Новосибирск, 630090, Россия

²Новосибирский Государственный Университет, ул. Пирогова, 2, г. Новосибирск, 630090, Россия
E-mail: ppb@che.nsk.su

Статья поступила в редакцию 10 марта 2009 г., после переработки 13 апреля 2009 г.

Предложено новое объединенное уравнение состояния, описывающее P - ρ - T -данные ${}^4\text{He}$ с погрешностью по давлению $P \sim \pm 1\%$ в интервале приведенных плотностей от -1 до $+1$ и приведенных температур от $-0,3$ до $+0,3$. Объединенное уравнение $P(\rho, T)$, впервые записанное в явных функциях от плотности ρ и температуры T , включает регулярное уравнение состояния для аппроксимации данных вне критической области, непараметрическое масштабное уравнение состояния, адекватно представляющее P - ρ - T -данные вблизи критической точки парообразования и кроссоверную функцию перехода, объединяющую два разных уравнения состояния. В качестве кроссоверной функции предложена классическая функция гашения флуктуаций плотности и температуры, характерных для критической области. В качестве регулярной части объединенного уравнения использованы универсальное семиконстантное уравнение состояния Каплуна–Мешалкина, а также новое кубическое пятиконстантное уравнение. В объединенном уравнении состояния выполняются условия равенства нулю первой и второй производной от давления по плотности в критической точке; имеется бинодаль и спинодаль.

Запропоновано нове об'єднане рівняння стану, що описує P - ρ - T -дані ${}^4\text{He}$ з погрішністю по тиску $P \sim \pm 1\%$ в інтервалі наведених густин від -1 до $+1$ та наведених температур від $-0,3$ до $+0,3$. Об'єднане рівняння $P(\rho, T)$, яке уперше записано в явних функціях від щільності ρ і температури T , включає регулярне рівняння стану для апроксимації даних позакритичною областю, непараметричне масштабне рівняння стану, що адекватно представляє P - ρ - T -дані поблизу критичної точки паротворення та кросоверну функцію переходу, яка поєднує два різних рівняння стану. У якості кросоверної функції запропоновано класичну функцію гасіння флуктуацій щільності та температури, які характерні для критичної області. Як регулярну частину об'єднаного рівняння використано універсальне семиконстантне рівняння стану Каплуна–Мешалкіна, а також нове кубічне п'ятиконстантне рівняння. У об'єднаному рівнянні стану виконуються умови рівності нулю першої та другої похідних від тиску по щільності в критичній точці; є бінодаль та спинодаль.

PACS: 05.70.Ce Термодинамические функции и уравнения состояния;
05.70.Jk Явления в критической точке;
51.30.+i Термодинамические свойства, уравнения состояния;
64.10.+h Общая теория уравнений состояния и фазовое равновесие.

Ключевые слова: регулярное уравнение состояния, скейлинг, кроссоверная функция, аппроксимация PVT -данных, гелий, критическая точка.

1. Введение

В настоящее время известно достаточно много различных классических уравнений состояния (УС), которые описывают поведение термодинамических свойств жидкостей и газов, в том числе и ${}^4\text{He}$, в раз-

личных областях по плотности и температуре (см., например, [1–7]). В их число входят классические кубические УС типа уравнения Ван дер Ваальса, имеющие критическую точку, из современных — наиболее удачные трехконстантные УС (УС Каплуна–Мешал-

кина [8], Patel–Teja [9]) используются для представления термодинамических свойств многих простых газов при температурах и давлениях, далеких от критических значений. Для сложной термодинамической P – ρ – T -поверхности ${}^4\text{He}$, который при низких температурах, помимо обычной критической точки жидкость–пар ($\sim 5,19$ К), имеет также при $\sim 2,19$ К λ -точку фазового перехода в сверхтекущее состояние, до сих пор не предложено физически обоснованного уравнения состояния, охватывающего области регулярного и сингулярного поведения системы при $T > 3,6$ К. Существующие УС представляют собой многочленные полиномы из целых и нецелых степеней, на выбор которых влияет лишь максимальное правдоподобие описания основных термодинамических свойств системы. Характерным недостатком таких УС является большое (порядка 100) количество подгоночных констант и резкий рост погрешности описания вне областей их определения.

Существующие уравнения состояния с небольшим количеством подгоночных констант, члены которых имеют физический смысл, связанный с моделью потенциала межмолекулярного взаимодействия, также не дают сингулярного поведения термодинамических свойств в критической области парообразования. Из большого числа УС с 4-мя и более подгоночными константами укажем лишь на наиболее физически обоснованные уравнения состояния: УС Patel–Teja [9] с температурной зависимостью члена, отвечающего притяжению между молекулами [10], и семиконстантное УС Каплуна–Мешалкина [11], единое для газовых и жидких состояний вещества, вид которого получен с помощью модельного потенциала межмолекулярного взаимодействия. У этих уравнений для фактора сжимаемости $z = Pv/RT$ (P — давление, $\rho = 1/v$ — плотность, v — удельный объем, T — температура, R — газовая постоянная) возможно значение в критической точке $z_c < 1/3$, что характерно для большинства газов (для ${}^4\text{He}$ $z_c \sim 0,302$). Это позволяет выбрать z_c в качестве безразмерного подгоночного параметра наряду с P_c и T_c , в отличие от многих других УС (например, у УС Van der Waalsa $z_c = 3/8$ [12], у трехконстантного УС Каплуна–Мешалкина [8] $z_c > 1/3$ при любых значениях подгоночных констант). Как правило, наилучшая подгонка констант уравнений состояния, для которых $z_c < 1/3$, к P – ρ – T -данным в широкой области состояний систем, для которых справедливо это неравенство, приводит к сдвигу критической точки, т.е. к расчетным значениям P_c , T_c и V_c , которые заметно отличаются от их экспериментальных величин. Кроме этого, классические модели для УС, несмотря на довольно точные предсказания термодинамических свойств вдали от критической точки парообразова-

ния, не предсказывают сингулярного поведения термодинамических функций в критической области.

Как известно, вблизи критических точек жидкость–пар аномально возрастают флуктуации плотности и энтропии. Учет взаимодействия этих флуктуаций приводит к универсальным законам сингулярного поведения термодинамических свойств в точке фазового перехода II рода, к которой относятся λ -точка и критическая точка ${}^4\text{He}$ (теория масштабной инвариантности — скэйлинг), см., например, [13]. Показатели функций (критические индексы), описывающие сингулярное поведение, были вычислены Вильсоном [14]. При аппроксимации экспериментальных данных этими функциями оказалось, что в неасимптотической области для уменьшения погрешности описания необходимы поправки [13], связанные с проявлением регулярного поведения системы вдали от критической точки. В настоящее время работы в основном посвящены получению неасимптотических масштабных УС [15,16], но такие УС при малых плотностях не переходят в уравнение состояния идеального газа [17]. Кроме того, предлагаемые масштабные УС, как правило, основаны на параметрическом УС Скофилда [18], которое не позволяет получить явные зависимости давления от ρ и T и приводит к существенным трудностям при практическом применении. Недавно нами [19–21] впервые было получено масштабное УС с тремя подгоночными константами, которое в аналитическом виде описывает давление и теплоемкость ${}^4\text{He}$ в достаточно широком интервале по плотности вокруг критической точки с погрешностью, сравнимой с экспериментальной. Явная зависимость давления от ρ и T позволяет решать задачу объединения регулярного УС с масштабным УС для расширения области описания изотерм гелия.

Для расширения области описания многие исследователи (см., например, [22–24]) пытались соединить масштабное уравнение с разложением Ландау [12] или с уравнением типа Van der Waalsa. Наиболее удачными оказались работы [25,26], где на основе формы свободной энергии, полученной для УС Patel–Teja [9] в renormalized переменных, переходящих в обычные T и ρ при удалении от критической точки с помощью параметрической кроссоверной функции Киселева [25], получены единые кроссоверные УС для всей области состояний. Авторы [26] показали на примере CO_2 и семи углеводородных газов, что такое УС успешно воспроизводит область состояний газ–жидкость и критическую точку с погрешностью менее 2%. Большим недостатком этого УС является невозможность получения его в явном виде даже как функции параметра скэйлинга — «расстояния» от критической точки, так как сам параметр, от которого зависит кроссоверная функция, находится из сложно-

го неявного уравнения с дробными показателями для каждой пары экспериментальных значений T и ρ . Поэтому в [26] приведено давление $P(T, \rho)$ лишь в виде общей термодинамической производной от свободной энергии Гельмгольца по объему, что сильно снижает ценность этого уравнения для широкого применения.

Целью настоящей работы является получение объединенного УС (ОУС) в явном аналитическом виде, выражающем давление через экспериментальные значения T, ρ в широкой области газовых и жидкых состояний, с минимально необходимым числом системно-зависимых подгоночных параметров. Для этой цели мы используем наиболее удачные уравнения: в области регулярных УС — это УС Patel–Teja [7], УС Каплуна–Мешалкина [8,11], а в области масштабных УС — непараметрическое УС [19–21] с тремя подгоночными константами. В качестве кроссоверной функции, объединяющей регулярное и масштабное уравнения, мы предлагаем классическую функцию гашения флуктуаций температуры и плотности, определяющую область влияния критических флуктуаций в окрестности критической точки [12].

2. Регулярные уравнения состояния

Для получения достаточно точного описания разреженных и плотных газовых состояний использовано пятиконстантное кубическое УС, которое является комбинацией УС Patel–Teja (ПТ) [9] и трехконстантного УС Каплуна–Мешалкина (КМ3) [8], которые с погрешностью 1–3% (см. [8,26]) описывают P – ρ – T -данные многих веществ вдали от их критических точек.

УС Patel–Teja [9] имеет следующую форму:

$$P = RT / (v - b) - a \cdot a_0(T) / [v(v + b) + d(v - b)], \quad (1)$$

где a, b, d — подгоночные константы. Температурная зависимость $a_0(T)$, определяющая поведение давления на критической изохоре, взята в форме, предложенной в [10]:

$$a_0(T) = \{1 + [k_1 + k_2(1 + \sqrt{T/T_c})(0,7 - T/T_c)](1 - \sqrt{T/T_c})\}^2, \quad (2)$$

где k_2 — системно-зависимая подгоночная константа, T_c — критическая температура, параметр k_1 рассчитывается с помощью ацентрического фактора w для данного газа:

$$k_1 = 0,378893 + 1,4897153w - 0,17131848w^2 + 0,0196554w^3. \quad (3)$$

Кубическое УС КМ3 [8] имеет следующий вид:

$$P = \frac{RT}{v} [1 + c / (v - b)] - a / v^2. \quad (4)$$

УС (1) и (4) достаточно хорошо обоснованы и описывают экспериментальные P – ρ – T -данные в разреженных и плотных газах при независимых подгоночных константах. Недостатком обоих уравнений при аппроксимации данных с независимыми константами является несовпадение критической точки УС с экспериментальными значениями P_c, ρ_c, T_c , существенно превосходящее погрешность их определения. Анализ этих уравнений показывает, что для УС ПТ (1) возможны значения фактора сжимаемости в критической точке $z_c < 1/3$, а для УС КМ3 (4) z_c всегда больше $1/3$, хотя оно лучше [8], чем УС (1), описывает фактор сжимаемости $z(T, \rho)$ при умеренных плотностях. Кроме того, если потребовать совпадения критической точки УС с экспериментальным значением, т.е. наложить на подгоночные константы три условия в критической точке:

$$P(\rho_c, T_c) = P_c, (\partial P / \partial \rho)_{T_c} = 0, (\partial^2 P / \partial \rho^2)_{T_c} = 0, \quad (5)$$

то независимых констант для подгонки данных вне критической области для УС ПТ (1) всего одна (k_2), для УС КМ3 (4) все константы определены условиями (5) и возможным минимальным значением z_c . Это резко снижает точность описания изотерм давления вдали от критической точки. Для описания P – ρ – T -поверхности регулярным УС типа Van der Waals мы предлагаем в настоящей работе пятиконстантное кубическое УС, являющееся комбинацией УС (1) и (4), что позволяет объединить их достоинства:

$$P = RT\rho[1 + c_1\rho / (1 - b_1\rho)] - a_1 a_0(T) / [(1 + b_1\rho) / \rho^2 + d_1(1 - b_1\rho) / \rho]. \quad (6)$$

Здесь a_1, b_1, c_1, d_1 — подгоночные константы, $a_0(T)$ дается формулой (2) с подгоночной константой k_2 . Приведем УС (6) к безразмерному виду с помощью преобразований

$$\begin{aligned} z_c &= \frac{P_c}{\rho_c R T_c}, \quad a = a_1 \frac{P_c}{z_c (R T_c)^2}, \quad b = \frac{b_1 P_c}{z_c R T_c}, \\ c &= \frac{c_1 P_c}{z_c R T_c}, \quad d = \frac{d_1 P_c}{z_c R T_c}, \end{aligned} \quad (7)$$

после чего уравнение (6) примет вид

$$\begin{aligned} \frac{P}{P_c} &= \frac{(1 + \tau)(1 + \Delta\rho)}{z_c} \left[1 + \frac{c(1 + \Delta\rho)}{1 - b(1 + \Delta\rho)} \right] - \\ &- \frac{a \cdot a_0(\tau)(1 + \Delta\rho)^2}{z_c [1 + b(1 + \Delta\rho) + d(1 + \Delta\rho)(1 - b - b\Delta\rho)]}, \end{aligned} \quad (8)$$

где $\Delta\rho = (\rho - \rho_c) / \rho_c, \tau = (T - T_c) / T_c, a_0(\tau = 0) = 1$. Условия (5) для УС (8) в критической точке ($\tau = 0, \Delta\rho = 0, P/P_c = 1$) после громоздких преобразований сводятся к выражениям на a, c и d в зависимости от z_c и b :

$$a = [1 - z_c + c / (1 - b)](1 + b + d - bd), \quad (9)$$

$$c = z_c \frac{(1 - b)^3 [1 + (3 + b + d)bd]}{2b + d + bd(-3 + 3b + b^2)},$$

где d находится из решения квадратного уравнения:

$$z_c(1 - b)^3 \cdot d^2 + [2bz_c + z_c(1 - b)^3(3 + b) - 1 + 3b - 3b^2 - b^3]d - 2b(1 - 3z_c) = 0. \quad (10)$$

Следовательно, кроме экспериментальных величин P_c , T_c , z_c , при подгонке УС (8) к $P\rho T$ -данным определяются еще 2 системно-зависимые константы b и k_2 .

Как показывает наш опыт применения УС (8) для аппроксимации данных в широкой области состояний, включающей критическую точку, это уравнение, как и любое кубическое уравнение, плохо описывает область жидкого состояния ($\tau < 0$, $\Delta\rho > 0,5$). Учитывая это, в качестве регулярного УС мы использовали также недавно предложенное для газовых и жидкого состояний семиконстантное УС Каплуна–Мешалкина (КМ7), которое успешно работает в интервале $-1 < \Delta\rho < 1,5$ [11]. В безразмерной форме это уравнение имеет вид

$$\frac{P}{P_c} = \frac{(1 + \Delta\rho)(1 + \tau)}{z_c} \times$$

$$\times [1 - C_1 f(\tau)(1 + \Delta\rho) - C_3 f(\tau)\phi(\Delta\rho)(1 + \Delta\rho) - C_4 \frac{1 + \Delta\rho}{1 + \tau} +$$

$$+ C_5 \phi(\Delta\rho) \frac{1 + \Delta\rho}{1 + \tau} + C_6 (1 + \Delta\rho) \exp(C_7(1 + \Delta\rho))], \quad (11)$$

где функция $f(\tau) = \exp(-1/(1 + \tau)) - 1$, а функция $\phi(\Delta\rho)$ имеет один подгоночный параметр C_0 :

$$\phi(\Delta\rho) = 1 - 2(1 + \Delta\rho) + 3(1/2 - z_c)(1 + \Delta\rho)^2 +$$

$$+ 4(z_c - 1/6 - z_c^2)(1 + \Delta\rho)^3 - C_0(1 + \Delta\rho)^5. \quad (12)$$

Имеется несколько вариантов связывания трех из семи подгоночных констант УС (11) с помощью условий (5) в критической точке. Наилучшая аппроксимация данных [27] получается при следующих выражениях для расчета констант C_4 , C_5 , C_6 через z_c и остальные подгоночные константы C_0 , C_1 , C_3 , C_7 :

$$C_6 = \frac{1 - (1 - 2z_c)(3 + \phi''(0)/\phi'(0))}{(C_7 - \phi''(0)/\phi'(0))C_7 \exp(C_7)}, \quad (13)$$

$$C_5 = (1 - 2z_c)/\phi'(0) + C_3 [\exp(-1) - 1] -$$

$$- C_6 C_7 \exp(C_7)/\phi'(0), \quad (14)$$

$$C_4 = 1 - z_c - C_1 [\exp(-1) - 1] - C_3 \phi(0)[\exp(-1) - 1] +$$

$$+ C_5 \phi(0) + C_6 \exp(C_7). \quad (15)$$

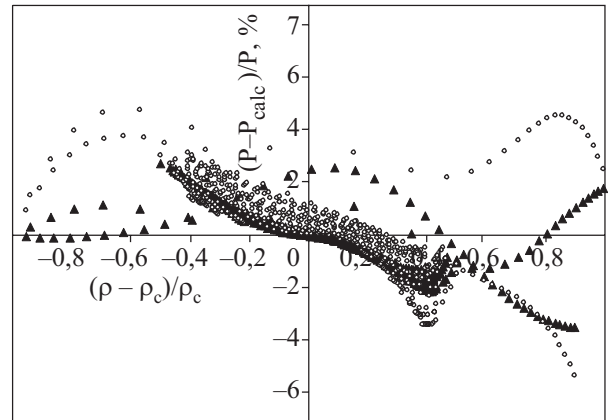


Рис. 1. Отклонения экспериментальных давлений от расчетных значений по регулярным уравнениям в ${}^4\text{He}$: по кубическому УС (8) ($b = 0,37825$, $k_2 = -0,14277$), $\sigma_{\%} = 1,76\%$ (\circ), по УС КМ7 (11) ($C_0 = 0,04332$, $C_1 = 0,28362$, $C_3 = 2,4552$, $C_7 = 0,82944$), $\sigma_{\%} = 1,33\%$ (\blacktriangle). При подгонке использованы 20 изотерм (от 5,06 до 5,38 К) в интервале $-0,5 < \Delta\rho < 0,5$, данные [27] и изотермы 6 и 8 К, полученные в интервале $-1 < \Delta\rho < 1$ по интерполяционному уравнению NIST [30].

В уравнениях (13)–(15) $\phi(0)$, $\phi'(0)$, $\phi''(0)$ — функция $\phi(\Delta\rho)$ (12) и ее две первые производные по плотности при $\Delta\rho = 0$.

Выбор УС (8) или УС (11) в качестве регулярной составляющей для объединенного уравнения состояния зависит от области аппроксимации данных и конкретного газа. На рис. 1 показаны (для сравнения) по-

Таблица 1. Среднеквадратичная погрешность аппроксимации σ разными уравнениями состояния $P\rho T$ -данных для ${}^4\text{He}$ [27] и совместных данных [27], [30] ($0,05 < P < 2$ МПа)

Уравнение	Подгоночные константы	σ/P_c , % ($\sigma_{\%}$)	
		$-0,5 < \Delta\rho < 0,5$	$-1 < \Delta\rho < 1$
		$-0,030 < \tau < 0,035$	$-0,03 < \tau < 0,54$
УС (8)	a, b, c, d, k_2	0,31	3,64
УС (8) + расчет a , c, d по (9), (10)	$b, k_2 + (P_c, z_c, T_c)$	1,04	(1,76)
УС КМ7 (11)–(12)	$C_0, C_1, C_3, C_4, C_5, C_6, C_7$	0,33	0,87
УС КМ7 (11)–(12) + расчет C_4, C_5, C_6 по (13)–(15)	$C_0, C_1, C_3, C_7 + (P_c, z_c, T_c)$	0,90	(1,33)
ОУС (21) при P_{clas} по УС (8)–(10)	$b, k_2, M-a_p, m, k, \lambda, \mu + (P_c, z_c, T_c)$	0,17	1,38 (1,2)
ОУС (21) при P_{clas} по УС (11)–(15)	$C_0, C_1, C_3, C_7, M-a_p, m, k, \lambda, \mu + (P_c, z_c, T_c)$	0,13	0,98 (0,24)

грешности описания данных по ${}^4\text{He}$ [27] кубическим УС (8) с условиями (9), (10) и УС КМ7 (11) с условиями (13)–(15) для интервала аппроксимации $-1 < \Delta\rho < 1$. Оба уравнения состояния имеют систематические отклонения до 4% (при $|\Delta\rho| \sim 0,6$) от реальной P – ρ – T -поверхности, обусловленные выполнением условий (5) в критической точке. Среднеквадратичная погрешность σ описания P – ρ – T данных регулярными УС (1), (8) и (11) с условиями (5) и без них для разных интервалов приведена в табл. 1. Несмотря на меньшую σ , получаемую без учета условий (5), регулярные УС с независимыми подгоночными коэффициентами в этом случае имеют смещенную критическую точку и пограничную кривую.

3. Масштабное уравнение состояния

Масштабные УС применяются для описания симметричных систем в области их критических точек фазовых переходов II рода, таких, например, как модель Изинга. Физические основания применения масштабных УС, как и всей теории скейлинга, заключаются в учете коллективных взаимодействий развитых флуктуаций [13] в точке фазового перехода II рода, что приводит к сингулярному поведению термодинамических производных (в частности, теплоемкости) с нецелыми критическими индексами, которое было обнаружено в экспериментах. Модификации этих уравнений, учитывающие поправки на неасимптотическое поведение и асимметрию реальных жидкостей, расширили область применения скейлинга [16, 17, 28], одновременно усложнив их вид, так как они используют параметрическое уравнение Скофилда [18].

В этой работе мы использовали простое непараметрическое масштабное УС для флюидов, явно выражающее зависимость давления от τ , $\Delta\rho$, которое пригодно не только для описания P – ρ – T -данных, но и теплоемкости в критической области [19–21]. Это уравнение имеет следующий вид:

$$\begin{aligned} P/P_c = & 1 - k(q_p - q)^\gamma \Delta\rho |\Delta\rho|^{\delta-1} \left(1 + \frac{\delta}{1+\delta} \Delta\rho \right) + \\ & + k(\tau + q_p |\Delta\rho|^{1/\beta})^\gamma (\Delta\rho + \Delta\rho^2) - \\ & - k \int_0^{\Delta\rho} x(\tau + q_p |x|^{1/\beta})^\gamma dx + (M - a_p) \tau + C_s \tau^{2-\alpha} / (2-\alpha). \end{aligned} \quad (16)$$

Здесь γ , β и δ — критические индексы сжимаемости вдоль критической изохоры, пограничной кривой и критической изотермы соответственно; m , k , $(M - a_p)$ — системно-зависимые подгоночные константы ($M \equiv s_c T_c / P_c$, s_c — критическая энтропия на единицу объема, a_p — константа преобразований Покровского

[13]), $C_s = k\beta\gamma B(\alpha-1, 2\beta) / q_p^{2\beta}$, $B(\alpha-1, 2\beta)$ — бэта-функция Эйлера, значение которой при $\alpha=0,11$, $\beta=0,3255$ равно 2,6396, $\alpha=2-\gamma-2\beta$. Величина $q=(m/k)^{1/\gamma}$ в УС (16) является коэффициентом в зависимости для пограничной кривой (бинодали) в критической области

$$\tau = -q |\Delta\rho|^{1/\beta}, \quad (17)$$

а $q_p = 4,0015q$ — коэффициентом кривой, на которой расходится теплоемкость C_v в лабильной области (так называемая S -спинодаль [19]):

$$\tau = -q_p |\Delta\rho|^{1/\beta}. \quad (18)$$

Связь между q_p и q [20] следует из значений универсального отношения критических амплитуд сжимаемости и критических индексов, принятых в настоящее время для трехмерной системы Изинга (см., например, [16]). Спинодаль (кривая, ограничивающая область лабильных состояний, на которой расходится сжимаемость $(\partial\Delta\rho / \partial P)_\tau$), для УС (16), имеет такую же форму, что и бинодаль (17), но с коэффициентом $q_s = 2,4196q$ [21].

Заметим, что применение УС (16) неудобно при аппроксимациях P – ρ – T -данных из-за наличия в нем интеграла. Так как индекс γ близок к единице, разложение подынтегрального выражения в (16) по малой в критической области величине $q_p |x|^{1/\beta} / \tau$, с учетом, что в (16) интеграл на нижнем пределе равен $-C_s \tau^{(2-\alpha)} / (2-\alpha)$, дает в качестве первого приближения вид УС, удобный для аппроксимации P – ρ – T -данных:

$$\begin{aligned} P/P_c = & 1 - k(q_p - q)^\gamma \Delta\rho |\Delta\rho|^{\delta-1} \left(1 + \frac{\delta}{1+\delta} \Delta\rho \right) + \\ & + k(\tau + q_p |\Delta\rho|^{1/\beta})^\gamma (\Delta\rho + \Delta\rho^2) - \\ & - k\tau |\tau|^{\gamma-1} \Delta\rho^2 \left(\frac{1}{2} + \frac{\gamma\beta}{1+2\beta} \frac{q_p |\Delta\rho|^{1/\beta}}{\tau} \right) + (M - a_p) \tau. \end{aligned} \quad (19)$$

Уравнение (19) содержит всего 3 подгоночные константы, кроме экспериментальных значений P_c , ρ_c , T_c , которые, как известно, должны определяться классическими уравнениями состояния. Для адекватного сравнения с другими системами нами принято, что значения критических индексов не являются подгоночными константами и взяты из трехмерной модели Изинга [16]: $\beta=0,3255$, $\gamma=1,239$, $\delta=(\gamma+\beta)/\beta=4,806$.

Следует отметить, что приближенное выражение для интеграла, примененное в УС (19), непригодно в пределе $\tau \rightarrow 0$ и $\Delta\rho \rightarrow -1$ (разложение интеграла в (16) в этом пределе ведется по обратной величине $\tau/q_p |x|^{1/\beta}$). При $\tau=0$ и $\Delta\rho=-1$ можно получить точное значение $P/P_c = 1 + k[(q_p - q)^\gamma - q_p^\gamma] / (\delta+1)$, которое меньше, чем по УС (19). Как и любые масштабные

уравнения состояния, УС (19) хотя и не обладает пределом идеального газа, но аппроксимирует данные в критической области с погрешностью, не превосходящей экспериментальной ошибки измерений [29].

4. Объединенное уравнение состояния

Для объединения регулярного УС (8) или (11) с масштабным УС (19) нами применена в качестве кроссоверной функции широко известная в термодинамике классическая функция вероятности гашения (возникновения) флуктуаций температуры и плотности в некоторой точке состояния T, ρ [12, с. 371]:

$$Y = \exp(-\lambda\tau^2 - \mu\Delta\rho^2). \quad (20)$$

Здесь $\tau, \Delta\rho$ имеют смысл «расстояния» от критической точки, подгоночные константы λ, μ определяют область влияния критических флуктуаций. Объединенное УС при этом имеет следующий вид:

$$P / P_c = (1-Y)P_{\text{clas}} / P_c + YP_{\text{scal}} / P_c, \quad (21)$$

где $P_{\text{clas}}, P_{\text{scal}}$ — вклады в давление по регулярному и масштабному уравнениям состояний. Физические основания этого уравнения заключаются в существовании предела идеального газа и регулярном поведении вдали от критической области, которое плавно переходит в скейлинговские зависимости вблизи критической точки. Выполнение условий (5) в критической точке для ОУС (21) приводит к совпадению критической точки регулярного УС с критической точкой масштабного УС. Это означает, что P_c, T_c, ρ_c являются классическими величинами, поскольку в масштабном уравнении (19) их значения не определялись, а были экспериментальными или находились как подгоночные параметры.

5. Результаты аппроксимации

Для проверки работоспособности ОУС (21) необходимо иметь экспериментальные $P-\rho-T$ -данные для ${}^4\text{He}$, полученные желательно одним способом в широком интервале по $\tau, \Delta\rho$ с достаточно высокой точностью не только вдали от критической точки парообразования, но и в критической области. К таким данным относится работа [27]. Однако даже эти результаты, к сожалению, получены в интервале $-0,5 < \Delta\rho < 0,5$ и покрывают интервал температур всего от $\tau = -0,03$ до $\tau = 0,03$ (553 точки, 20 изотерм, P до 0,27 МПа). Для расширения интервала до $-1 < \Delta\rho < 1$ нами проведена совместная обработка данных [27] и изотерм 6 и 8 К, рассчитанных по интерполяционному уравнению NIST [30] с точностью $\pm 1\%$ (633 точки, P до 2 МПа, $-0,03 < \tau < 0,54$).

При аппроксимации данных нами использованы значения P_c, ρ_c, T_c , рекомендованные в работах [27, 31] для ${}^4\text{He}$ ($T_c = 5,1968$ К, $P_c = 0,227195$ МПа, $\rho_c = 69,56$ кг/м³). Значение ацентрического фактора для ${}^4\text{He}$ ($w = -0,382$) взято из [30].

Для нахождения подгоночных констант УС применяли стандартный метод наименьших квадратов (для линейных систем нормальных уравнений) и метод конфигураций (для нелинейных уравнений). Средне-квадратичная погрешность аппроксимации σ оценивалась согласно формуле

$$\sigma = \sqrt{\sum_1^N (P_{i,\text{exp}} - P_{i,\text{calc}})^2 / (N-n)},$$

где N — число точек массива данных, n — число подгоняемых параметров, $P_{i,\text{exp}} - P_{i,\text{calc}}$ — невязка между экспериментальным и расчетным значением давления. При изменении давления в широких интервалах по ρ и T более чем в 5–10 раз, минимизировался также и процентный вклад невязок в квадратичный функционал ошибок, при этом

$$\sigma\% = \sqrt{\sum_1^N [(P_{i,\text{exp}} - P_{i,\text{calc}}) / P_{i,\text{exp}}]^2 / (N-n)} \cdot 100\%.$$

Поскольку интервал аппроксимации данных включает газовые, жидкие состояния и критическую область, нами сначала проведена сравнительная аппроксимация регулярными УС $P-\rho-T$ -данных для ${}^4\text{He}$ [27], см. табл. 1. Для всех УС, указанных в таблице $z_c < 1/3$ и при подгонках, принято экспериментальное значение $z_c = 0,30245$ для ${}^4\text{He}$. На рис. 1 показано, что при $|\Delta\rho| \sim 0,5$ имеются систематические (до 4%) отклонения изотерм регулярных УС (8) и КМ7 (11) от данных ${}^4\text{He}$, связанные с выполнением условий (5). Поэтому σ значительно выше экспериментальной погрешности измерений по давлению (0,01% [27]). Сравнение линейных отклонений в интервале $-1 < \Delta\rho < 1$ позволяет заключить, что УС КМ7 (11) интерполирует данные ${}^4\text{He}$ лучше, чем УС (8). При $|\Delta\rho| < 0,5$ эти регулярные УС одинаково хороши для интерполяции, хотя у УС КМ7 (11) на два подгоночных коэффициента больше, чем у УС (8). Поэтому эти уравнения использовались нами как регулярная часть давления (P_{clas}) для ОУС (21).

В табл. 1 приведены также для сравнения σ аппроксимации данных ${}^4\text{He}$ объединенным УС (21), в состав которого включена регулярная часть P_{clas} по кубическому УС (8) или по УС КМ7 (11). Соответствующие подгоночные коэффициенты ОУС приведены в табл. 2 и 3 для разных интервалов интерполяции по плотности и температуре. Очевидно, ОУС представляет поведение изотерм значительно точнее, чем регулярные

Таблица 2. Константы ОУС (21) с регулярной частью P_{clas} по кубическому УС (8) и среднеквадратичная погрешность σ описания P - ρ - T -данных для ${}^4\text{He}$ [27,30]

Константы	Интервалы	
	$-0,03 < \tau < 0,03$	$-0,03 < \tau < 0,54$
	$-0,5 < \Delta\rho < 0,5$	$-1 < \Delta\rho < 1$
k_2	-0,13245	-0,12789
b	0,38059	0,36151
$a(b)$	1,50322	1,49592
$c(b)$	0,12953	0,141753
$d(b)$	0,4478	0,415459
$M-a_p$	4,03478	3,96964
q	0,37785	0,37785
(m)	(2,25336)	(2,28734)
k	7,52540	7,63886
λ	89,1515	24,2634
μ	2,5559	1,950
$\sigma, \text{МПа}$	0,000377	0,003141
$\sigma/P_c, \% (\sigma \%)$	0,17	1,38 (1,2)

Таблица 3. Константы ОУС (21) с регулярной частью P_{clas} по УС КМ7 (11) и среднеквадратичная погрешность σ описания P - ρ - T -данных для ${}^4\text{He}$ [27], [30].

Константы	Интервалы	
	$-0,03 < \tau < 0,03$	$-0,03 < \tau < 0,54$
	$-0,5 < \Delta\rho < 0,5$	$-1 < \Delta\rho < 1$
C_0	0,045022	0,51881
C_1	0,28362	0,28362
C_3	2,88917	2,39798
C_4	1,22996	1,29379
C_5	-2,12554	-1,80734
C_6	0,110365	0,16492
C_7	0,89755	0,70791
$M-a_p$	4,01155	3,92827
q	0,29521	0,29521
(m)	(1,88063)	(1,74712)
k	8,52730	7,92191
λ	42,210	182,613
μ	3,59686	3,6509
$\sigma, \text{МПа}$	0,00029	0,00224
$\sigma/P_c, \% (\sigma \%)$	0,13	0,98 (0,24)

УС, не только в критической области и в критической точке, но и во всей области плотностей, включая газовые и жидкые состояния. Однако судить по величине σ о пригодности ОУС для предсказания поведения изотерм давления гелия в тех областях состояния, которые не входили в интервалы аппроксимации, не совсем корректно, поскольку σ в среднем в 3 раза меньше максимального отклонения расчетной изотермы от эксперимента и не дает представления о систематических отклонениях хода изотерм. Поэтому на рис. 2 показаны линейные отклонения для расчетного давления (в %) по ОУС с регулярным кубическим УС (8) (а) и по ОУС с регулярным УС КМ7 (б) для ${}^4\text{He}$ при совместной подгонке точных данных [27], и изотерм 6 и 8 К в интервале $-1 < \Delta\rho < 1$ (интерполяционная программа базы данных NIST, погрешность $\pm 1\%$) [30]. Как видно на рис. 2, основную погрешность описания вносят неточные интерполяционные данные [30] (треугольники), описание же данных [27] проводится на уровне погрешности их измерений обоими видами ОУС. Черными кружками отмечены изотермы 6 и 8 К из [32], которые не были включены в массив данных при подгонке констант ОУС. Сравнивая рис. 1 и рис. 2,

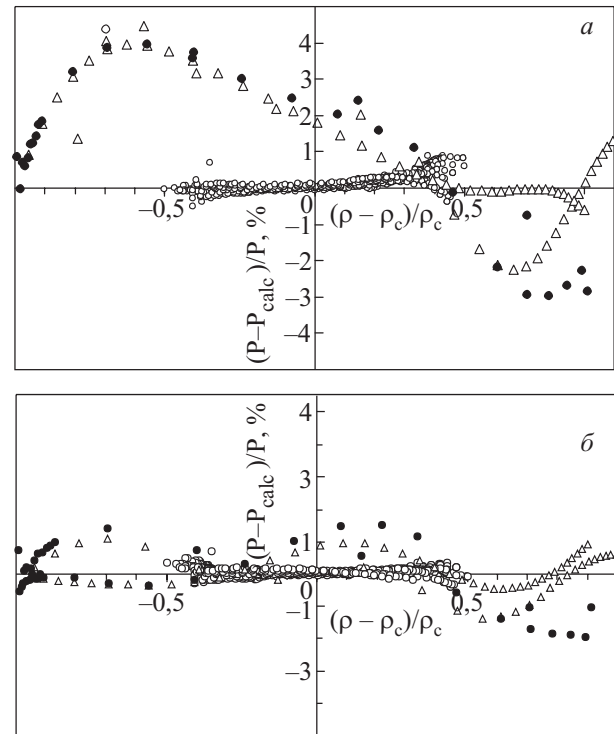


Рис. 2. Отклонения (в %) экспериментальных значений давления ${}^4\text{He}$ от расчетных величин по ОУС (21). 20 изотерм (от 5,06 до 5,38 К), данные [27] (○), изотермы 6 и 8 К [30] (Δ), изотермы 6 и 8 К [32] (●). Расчет сделан по константам ОУС гелия из табл. 2, 3 (совместная подгонка, данные [27,30] для $-1 < \Delta\rho < 1$); с регулярной частью по кубическому УС (8), $\sigma/P_c = 1,4\%$ (а), с регулярной частью по УС КМ7 (11), $\sigma/P_c = 0,98\%$ (б).

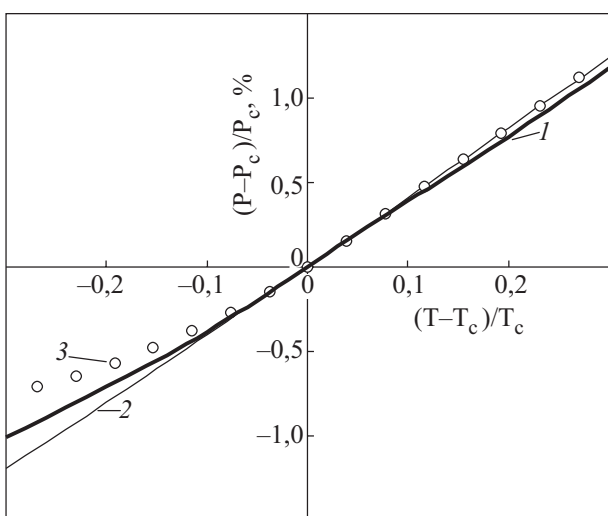


Рис. 3. Критическая изохора ${}^4\text{He}$. Расчет сделан по константам ОУС (21) гелия из табл. 2, 3, интервал $-1 < \Delta\rho < 1$. ОУС с регулярной частью по кубическому УС (8) (1), ОУС с регулярной частью по УС КМ7 (11) (2), точки — интерполированные данные NIST (погрешность $\pm 1\%$) [30] (3).

можно сделать вывод, что имеющиеся небольшие систематические отклонения на рис. 2 появляются из-за поведения регулярных УС, которые без УС (19) (рис. 1) дают в тех же областях систематические отклонения до 4%.

К сожалению, экспериментальные данные [27] не включают изотерм давления, далеких от T_c (максимальное $\tau = 0,03$), поэтому важно знать предсказательную способность ОУС в областях состояния вне интервалов подгонки. Для ${}^4\text{He}$ по ОУС (коэффициенты взяты из табл. 2, 3 для интервала $-1 < \Delta\rho < 1$) рассчитана критическая изохора (кривые 1 и 2, рис. 3). Для сравнения кружками показано поведение изохоры $\rho_c = 69,56 \text{ кг}/\text{м}^3$, рассчитанной по интерполяционной программе NIST [30], в которой принято несколько другое значение $\rho_c = 69,641 \text{ кг}/\text{м}^3$. При $\tau > -0,1$ значения приведенного давления хорошо совпадают, заметное отличие наблюдается при $\tau < -0,1$, что, возможно, вызвано несовпадением значений критических плотностей.

Заключение

Предложено новое ОУС (7–9 подгоночных констант) на основе объединения нового скэйлингового УС, в аналитическом виде описывающем зависимость давления от $\Delta\rho$ и τ , и новых регулярных УС с помощью переходной функции гашения влияния флюктуаций при удалении от критической точки парообразования. ОУС описывает термические свойства ${}^4\text{He}$ в области состояний от малой до двойной критической плотности и имеет правильные асимптотики

поведения термических и калорических свойств ${}^4\text{He}$ в критической точке. Число подгоночных коэффициентов ОУС зависит от вида применяемой регулярной части. Нами предложено новое кубическое УС с пятью константами в качестве $P_{\text{clas}}(\Delta\rho, \tau)$ и использовано новое универсальное УС Каплун—Мешалкина [11] с семью подгоночными константами. В широком интервале $-0,5 < \Delta\rho < 0,5$, включающем критическую область, оба вида ОУС описывают $P-\rho-T$ -зависимости ${}^4\text{He}$ одинаково корректно в пределах 0,13–0,5%, а в области жидкого состояния ($\Delta\rho > 0,5$) предпочтительно использовать УС Каплун—Мешалкина. Предлагаемое ОУС проще, чем известные параметрические кроссоверные УС на основе УС Patel—Teja (см., например, [25,26]), удобнее при практическом применении и дают меньшую погрешность аппроксимации. Очевидно, расчет других термодинамических свойств ${}^4\text{He}$ (пограничная кривая, сжимаемость, теплоемкость) по ОУС в явном виде более удобен.

Работа поддержана Междисциплинарным интеграционным проектом СО РАН № 81 и грантом РФФИ 06-08-00456-а.

Мы благодарны А.Б. Каплуну и А.Б. Мешалкину за плодотворные обсуждения.

1. М.П. Вукалович, И.И. Новиков, *Уравнения состояния реальных газов*, Наука, Москва (1948).
2. *Physics of Simple Liquids*, H.N.V. Temperley, J.S. Rowlinson, and G.S. Rushbrooke (eds.), North-Holland Publ. Co., Amsterdam (1969).
3. *Уравнения состояния газов и жидкостей*, И.И. Новиков (ред.), Наука, Москва (1975).
4. Г.А. Спиридовон, И.С. Квасов, *Эмпирические и полуэмпирические уравнения состояния газов и жидкостей. Обзоры по теплофизическим свойствам веществ*, ИВТАН СССР, №1 (57), 45 (1986).
5. H.S. Huang and M. Radosz, *Ind. Eng. Chem. Res.* **29**, 2284 (1990).
6. H.S. Huang and M. Radosz, *Ind. Eng. Chem. Res.* **30**, 1994 (1991).
7. M.S. Shin, K.P. Yoo, C.S. Lee, and H. Kim, *Korean J. Chem. Eng.* **23**, 469 (2006).
8. А.Б. Каплун, А.Б. Мешалкин, *TBT* **41**, 373 (2003).
9. N.C. Patel and A.S. Teja, *Chem. Eng. Sci.* **37**, 463 (1982).
10. R. Stryjek and J.H. Vera, *Can. J. Chem. Eng.* **64**, 323 (1986).
11. А.Б. Каплун, А.Б. Мешалкин, *ДАН* **392**, 48 (2003).
12. Л.Д. Ландау, Е.М. Либшиц, *Статистическая физика*, 3-е изд., Наука, Москва (1976), ч. 1.
13. А.З. Паташинский, В.Л. Покровский, *Флуктуационная теория фазовых переходов*, Наука, Москва (1982).
14. К. Вильсон, Д. Когут, *Ренормализационная группа и ε -разложение*, Мир, Москва (1975).
15. M.A. Anisimov and J.V. Sengers, in: *Equations of State for Fluids and Fluid Mixtures*, J.V. Sengers, R.F. Kayser, C.J. Peters, and H.J. White (eds.), Elsevier, Amsterdam (2000), p. 381.

16. V.A. Agayan, M.A. Anisimov, and J.V. Sengers, *Phys. Rev.* **E64**, 026125-1 (2001).
17. S.B. Kiselev and D.G. Friend, *Fluid Phase Equilibr.* **162**, 51 (1999).
18. P. Schofield, *Phys. Rev. Lett.* **22**, 606 (1969).
19. П.П. Безверхий, В.Г. Мартынец, Э.В. Матизен, *TBT* **45**, 510 (2007).
20. П.П. Безверхий, В.Г. Мартынец, Э.В. Матизен, *ЖЭТФ* **132**, 162 (2007).
21. P.P. Bezverkhy, V.G. Martynets, and E.V. Matizen, *J. Engin. Thermoph.* **16**, 164 (2007).
22. Z.Y. Chen, P.C. Albright, and J.V. Sengers, *Phys. Rev.* **A41**, 3161 (1990).
23. A. Kostrowicka Wyczalkowska, J.V. Sengers, and M.A. Anisimov, *Physica* **A334**, 482 (2004).
24. S.B. Kiselev, *Fluid Phase Equilibr.* **147**, 7 (1998).
25. S.B. Kiselev, *Fluid Phase Equilibr.* **222-223**, 149 (2004).
26. Y. Lee, M.S. Shin, J.K. Yeo, and H. Kim, *J. Chem. Thermodyn.* **39**, 1257 (2007).
27. В.Ф. Кукарин, В.Г. Мартынец, Э.В. Матизен, А.Г. Сартаков, *ФНТ* **6**, 549 (1980) [*Low Temp. Phys.* **6**, 263 (1980)].
28. А.Г. Сартаков, В.Г. Мартынец, *Известия Сиб. Отд. АН СССР. Сер. хим. наук* **3**, 14 (1982).
29. П.П. Безверхий, В.Г. Мартынец, Э.В. Матизен, *ЖФХ* **81**, 978 (2007).
30. E.W. Lemmon, M.O. McLinden, and D.G. Friend, *Thermophysical Properties of Fluid Systems*, in: *NIST Standard Reference Database*, P.J. Linstrom and W.G. Mallard (eds.), No 69 (2005). Release: *NIST Chemistry Webbook*, National Institute of Standards and Technology, Gaithersburg MD, 20899 (2001). Available from: <http://webbook.nist.gov>.
31. В.Ф. Кукарин, В.Г. Мартынец, Э.В. Матизен, А.Г. Сартаков, *ФНТ* **7**, 1501 (1981) [*Low Temp. Phys.* **7**, 725 (1981)].
32. В.В. Сычев, А.А. Вассерман, А.Д. Козлов, Г.А. Спиридовон, В.А. Цымарный, *Термодинамические свойства гелия*, ГСССД, Изд-во Стандартов, Москва (1984).

Equation of state for ${}^4\text{He}$ including regular and scaling parts

P.P. Bezverkhy, V.G. Martynets, and E.V. Matizen

A new equation of state is proposed to describe the P - ρ - T -data in ${}^4\text{He}$ with an error in pressure $P \sim \pm 1\%$ in intervals of reduced densities from -1 up to 1 and reduced temperatures from -0.3 up to 0.3 . For the first time the combined equation of state is written in terms of the explicit functions of density ρ and temperature T , and includes a regular part for approximation of the P - ρ - T -data outside the critical region, and a nonparametric scaling equation of state which adequately describes the P - ρ - T -data near the gas-liquid critical point, and a crossover function combining smoothly both parts. The crossover function is proposed as a classical function which damps the influence of density and temperature fluctuations if the distance from the critical point increases. Two various equations of state are taken as a regular part of the combined equation: a new cubic equation with five adjustable constants and the Kaplun-Meshalkin equation with seven adjustable constants to describe the data within the above limits, including liquid. For the combined equation the first and second derivatives of P on ρ are equal zero at the critical point and there are binodal and spinodal.

PACS: 05.70.Ce Thermodynamic functions and equation of state;
 05.70.Jk Critical point phenomena;
51.30.+i Thermodynamic properties, equations of state;
64.10.+h General theory of equations of state and phase equilibria.

Keywords: regular equation of state, scaling, crossover function, approximation of PVT -data, helium, critical point.